

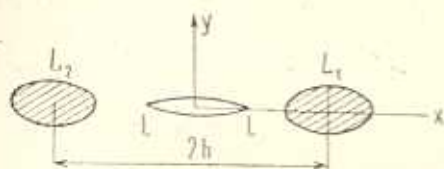
УДК 539.375

АНТИПЛОСКАЯ ДЕФОРМАЦИЯ ТЕЛА С ТРЕЩИНОЙ И  
 ЭЛЛИПТИЧЕСКИМИ УПРУГИМИ ВКЛЮЧЕНИЯМИ

КАЛОЕРОВ С. А.

В работе [1] приведен метод определения напряженного состояния и коэффициента интенсивности напряжений для антиплоской деформации многосвязного тела с трещинами, исследовано влияние их близости к поверхностям цилиндрических полостей и «степень» анизотропии материала на концентрацию напряжений. В данной статье исследуется влияние упругих включений на изменение концентрации напряжений. Аналогичные исследования влияния круговых упругих включений для плоской задачи изотропного тела приведены в работах [3—7].

§ 1. Рассмотрим бесконечное ортотропное или изотропное тело с двумя одинаковыми эллиптическими (круговыми) цилиндрическими включениями из упругого материала и симметричной «туннельной» трещиной между ними. Будем предполагать, что на поверхности соприкосновения имеют место условия идеального контакта, на бесконечности тело нагружено усилиями  $\tau_{yz}^\infty = p$ ,  $\tau_{xz}^\infty = 0$ . В сечении тела с



Фиг. 1

плоскостью, перпендикулярной оси продольного сдвига, получается многосвязная область, ограниченная эллипсами  $L_1$ ,  $L_2$  и разрезанная отрезком длины  $2l$  (фиг. 1). Обозначим полуоси эллипсов и расстояние между их центрами через  $a$ ,  $b$  и  $2h$ . В качестве частного случая будем рассматривать также тело с трещиной и одним правым включением.

Определение напряженного состояния рассматриваемого кусочно-однородного тела сводится [1] к нахождению комплексных потенциалов  $\varphi_2(z_2)$  и  $\varphi_3^1(z_3^1)$  из соответствующих граничных условий.

Функция  $\varphi_2(z_2)$  кусочно-голоморфна в многосвязной области  $S_2$ , ограниченной контурами  $L_{21}$ ,  $L_{22}$ , получаемыми из  $L_1$  и  $L_2$  аффинным преобразованием  $z_2 = x + i\beta_2 y$ , где  $\beta_2 = \sqrt{G_{xz}/G_{yz}}$ ;  $G_{xz}$ ,  $G_{yz}$  — модули сдвига для соответствующих направлений. Отрезок  $[-l, l]$  является линией скачков  $\varphi_2(z_2)$ .

Функция  $\Phi_2(z_2) = -\varphi_2'(z_2)$  имеет вид [1]

$$\Phi_3(z_3) = \frac{d_{30}z_3}{X(z_3)} + \sum_{h=1}^{\infty} \frac{b_h}{X(z_3)} \left[ \frac{1}{z_3^h} + \frac{r(-1)^{h+1}}{z_3^h} \right] \quad (1.1)$$

Здесь  $d_{30} = p/2$ ;  $X(z_3) = \sqrt{z_3^2 - l^2}$

$z_3$  — переменные, определяемые из зависимостей

$$z_3 - h = R_3 \left( z_1 + \frac{m_3}{z_1} \right); \quad z_3 + h = R_3 \left( z_2 + \frac{m_3}{z_2} \right) \quad (1.2)$$

$$R_3 = \frac{a + \beta_3 b}{2}; \quad m_3 = \frac{a - \beta_3 b}{a + \beta_3 b} \quad (1.3)$$

$r$  — величина, равная 0 для случая одного включения и 1 для случая двух включений;  $b_k$  — неизвестные вещественные постоянные.

Функция  $\varphi_3^1(z_3^1)$  голоморфна в эллипсе  $L_{31}^1$ , получаемом из  $L_1$  аффинным преобразованием  $z_3^1 = x + i\beta_3^1 y$ , где  $\beta_3^1 = \sqrt{G_{xz}^1/G_{yz}^1}$ ,  $G_{xz}^1$ ,  $G_{yz}^1$  — модули сдвига для материала включений. Поэтому  $\varphi_3^1(z_3^1)$  можно разложить в ряд по полиномам Фабера для эллипса  $L_{31}^1$  [2]

$$\varphi_3^1(z_3^1) = \sum_{k=0}^{\infty} \beta_k P_k(z_3^1) \quad (1.4)$$

Здесь

$$P_0 = 1, \quad P_k(z_3^1) = z_3^k + m_{3-3}^{k-1} \quad (1.5)$$

$z_3$  — переменная, определяемая из зависимости

$$z_3^1 - h = R_3^1 \left( z_2 + \frac{m_3^1}{z_2} \right); \quad R_3^1 = \frac{a + \beta_3^1 b}{2}; \quad m_3^1 = \frac{a - \beta_3^1 b}{a + \beta_3^1 b} \quad (1.6)$$

Из условий идеального контакта (напряжения и перемещения на поверхности равны) получим

$$2 \operatorname{Re} \varphi_3(z_3) = 2 \operatorname{Re} \varphi_3^1(z_3^1); \quad 2 \operatorname{Re} [i\varphi_3(z_3)] = \frac{x^1}{x} 2 \operatorname{Re} [i\varphi_3^1(z_3^1)] \quad (1.7)$$

При этом

$$x = \sqrt{1/G_{xz}G_{yz}}; \quad x^1 = \sqrt{1/G_{xz}^1G_{yz}^1}$$

Удовлетворяя граничным условиям (1.7) на контуре  $L_1$  (при этом в случае двух включений условия на  $L_2$  в силу использованной симметрии удовлетворяются автоматически) таким же образом, как и в работе [1], получим следующую систему линейных алгебраических уравнений для определения  $b_k$ ,  $\beta_k$ :

$$\sum_{k=1}^{\infty} (B_{k-1} - m_3 B_{k+1}) b_k = 0$$

$$\sum_{k=1}^{\infty} [(1 + \delta_n^1 m_3) B_{k+n-1} - m_3 B_{k+n+1} + (1 + m_3^2) r (D_{kn-1} - m_3 D_{kn+1})] b_k + \\ + \sum_{k=1}^{n-1} (1 - \delta_n^1) m_3^k B_{k-1} b_{n-k} - \sum_{k=1}^{n-1} m_3^{k-1} B_{k-1} b_{n-k+2} + \sum_{k=n}^{\infty} (1 - \delta_n^1) m_3 B_{k-n+1} b_k =$$

$$\begin{aligned}
& - \sum_{k=n+2}^{\infty} B_{k-n-1} b_k - \frac{n}{R_3} (1+m_{31}^n) \beta_n = -(1+m_3^n) d_{30} (B_{1n-1} - m_3 B_{1n+1}) \\
& \sum_{k=1}^{\infty} [B_{k+n-1} - m_3 B_{k+n+1} + r(D_{kn-1} - m_3 D_{kn+1})] b_k - \\
& - \frac{n}{2R_3} \left[ 1 + \frac{x^2}{x} + m_{31}^n \left( 1 - \frac{x^2}{x} \right) \right] \beta_n = -d_{30} (B_{1n-1} - m_3 B_{1n+1})
\end{aligned} \quad (1.8)$$

где  $B_n, B_{1n}, D_{kn}$  — коэффициенты следующих разложений:

$$\begin{aligned}
X^{-1}(z_3) &= \sum_{n=0}^{\infty} B_n P_n(z_3); \quad z_3 X^{-1}(z_3) = \sum_{n=0}^{\infty} B_{1n} P_n(z_3) \\
(-1)^{k+1} X^{-1}(z_3) [z_3(z_3)]^{-k} &= \sum_{n=0}^{\infty} D_{kn} P_n(z_3)
\end{aligned} \quad (1.9)$$

$P_n(z_3)$  — полиномы Фабера для эллипса  $L_{31}$ .

После решения системы (1.8) будут известными функции  $\Phi_3(z_3)$  и  $\Phi_3^1(z_3) = \varphi_3^1(z_3^1)$ . Это позволяет найти напряжения

$$\begin{aligned}
\tau_{xz} &= -2 \operatorname{Re} [i \beta_3 \Phi_3(z_3)]; \quad \tau_{yz} = 2 \operatorname{Re} \Phi_3(z_3) \\
\tau_{xz}^1 &= -2 \operatorname{Re} [i \beta_3^1 \Phi_3^1(z_3^1)]; \quad \tau_{yz}^1 = 2 \operatorname{Re} \Phi_3^1(z_3^1)
\end{aligned} \quad (1.10)$$

а также коэффициент интенсивности напряжений [1]

$$k_3^{\pm} = 2d_{30} \sqrt{l} + \sum_{k=1}^{\infty} \frac{2b_k}{\pm \sqrt{l}} \left[ \frac{1}{\zeta_1^k(\pm l)} + \frac{r(-1)^{k+1}}{\zeta_2^k(\pm l)} \right] \quad (1.11)$$

При вычислении  $\Phi_3^1(z_3^1)$  нужно пользоваться формулой [2]

$$\begin{aligned}
P_{k+1}'(z_3^1) &= \frac{k+1}{k} \frac{z_3^1 - h}{R_3^1} P_k'(z_3^1) - \frac{k+1}{k-1} m_3^1 P_{k-1}'(z_3^1) \quad (k=2, 3, \dots) \\
P_1'(z_3^1) &= \frac{1}{R_3^1}; \quad P_2'(z_3^1) = \frac{2(z_3^1 - h)}{(R_3^1)^2}
\end{aligned} \quad (1.12)$$

§ 2. Численные исследования были проведены для случая, когда упругие постоянные включений были пропорциональны упругим постоянным тела

$$G_{xz}^1 = \lambda G_{xz}; \quad G_{yz}^1 = \lambda G_{yz} \quad (2.1)$$

Для таких включений

$$\beta_3^1 = \beta_3; \quad R_3^1 = R_3; \quad m_3^1 = m_3; \quad x^1/x = \lambda^{-1} \quad (2.2)$$

В табл. 1 приведены значения  $k_{30}$  — отношения коэффициента интенсивности напряжения  $k_3$  к соответствующему коэффициенту  $k_3^0 = p\sqrt{l}$  для бесконечного однородного тела с трещиной, а в табл. 2 с точностью до множителя  $p$  — значения максимальных нормальных напряжений в теле около контура его контакта с правым включением. При этом счи-

талось, что  $b/a=1$ ,  $h/a=1,25$ ;  $\varepsilon=1/(h-a)=0,5$ . Коэффициент  $k_{30}^{\pm}$  и данные табл. 2 относятся к случаю двух включений,  $k_{30}^+$ ,  $k_{30}^-$ —коэффициенты для правого и левого концов трещины соответственно; значение  $\lambda^{-1}=\infty$  соответствует случаю неподкрепленных полостей.

Таблица 1

$\frac{G_{xz}}{G_{yz}}$	$k_{30}$	$\lambda^{-1}$						
		$\infty$	100	10	2	0,5	0,1	0,01
0,5	$k_{30}^+$	3,267	3,192	2,648	1,509	0,630	0,254	0,160
	$k_{30}^+$	1,913	1,891	1,716	1,263	0,769	0,480	0,295
	$k_{30}^-$	1,682	1,665	1,536	1,197	0,826	0,607	0,542
1,0	$k_{30}^{\pm}$	3,147	3,083	2,601	1,521	0,602	0,178	0,067
	$k_{30}^+$	1,781	1,765	1,634	1,254	0,752	0,401	0,286
	$k_{30}^-$	1,621	1,608	1,506	1,204	0,800	0,514	0,420
2,0	$k_{30}^{\pm}$	2,977	2,919	2,482	1,493	0,606	0,155	0,027
	$k_{30}^+$	1,635	1,624	1,529	1,227	0,753	0,352	0,204
	$k_{30}^-$	1,532	1,523	1,445	1,192	0,789	0,440	0,310

Таблица 2

$\frac{G_{xz}}{G_{yz}}$	$\lambda^{-1}$	$\tau$	$\theta^{\circ}$							
			0	30	60	90	120	150	165	180
0,5	$\infty$	$\tau_{\theta}$	2,69	1,90	0,86	0,16	0,56	1,94	3,16	4,80
	2	$\tau_{\theta}$	1,45	1,14	0,59	0,03	0,54	1,15	1,49	1,93
	0,5	$\tau_r$	0,00	0,62	1,07	1,23	-1,04	-0,56	-0,31	0,00
	0,1	$\tau_r$	0,00	0,78	1,34	1,51	-1,22	-0,58	-0,27	0,00
1,0	$\infty$	$\tau_{\theta}$	2,22	1,96	1,25	0,28	0,77	2,01	2,82	4,29
	2	$\tau_{\theta}$	1,38	1,20	0,71	0,05	0,62	1,20	1,43	1,87
	0,5	$\tau_r$	0,00	0,66	1,13	1,29	-1,07	-0,55	-0,29	0,00
	0,1	$\tau_r$	0,00	0,88	1,51	1,69	-1,32	-0,54	-0,22	0,00
2	$\infty$	$\tau_{\theta}$	1,89	1,90	1,70	0,49	1,00	1,96	2,53	3,89
	2	$\tau_{\theta}$	1,31	1,22	0,89	0,10	0,74	1,20	1,37	1,80
	0,5	$\tau_r$	0,00	0,70	1,21	1,37	-1,11	-0,53	-0,26	0,00
	0,1	$\tau_r$	0,00	1,03	1,75	1,93	-1,44	-0,47	-0,15	0,00

Из таблицы следует, что подкрепление полостей упругими включениями приводит к снижению концентрации напряжений около трещины и полостей. Анизотропия материала существенно влияет на напряженное состояние тела, если жесткость включений значительно отличается от жесткости материала тела ( $\lambda \geq 10$ ;  $\lambda \leq 0,1$ ).

ՀԱՔՈՎ ԵՎ ԱՌԱՋԳԱԿԱՆ ԷՒՊՏԱԿԱՆ ՆԵՐԴՐԱԿՆԵՐՈՎ  
ՄԱՐՄՆԻ ՀԱԿԱՀԱՐԹ ԳԵՅՈՐՄԱՅԻՆ

Ս. Ա. ԿԱՌԵՐՈՎ

Ա. մ. փ. ո. փ. ո. մ.

[1] աշխատանքում բերված է ճաբով բաղմաշերտ մարմնի հակահարթ դեֆորմացիայի համար լարվածային միջակի և լարումների ինտենսիվություն

դորձակցի սրռչման մեթոդ: ներկա աշխատանքում հետազոտված է լարում-  
ների կոնցենտրացիայի փոփոխման վրա առաձգական ներդրակների ազդե-  
ցությունը:

## ANTIPLANE BODY DEFORMATION WITH CRACK AND ELLIPTICAL ELASTIC INCLUSIONS

S. A. KALOYEROV

### S u m m a r y

The distribution of strains in an anisotropic or isotropic body with "tunnel" crack and elliptical elastic inclusions is investigated.

### ЛИТЕРАТУРА

1. Калоев С. А. Антиплоская деформация многосвязных тел с трещинами.—Изв. АН Арм. ССР, Механика, 1985, т. 38, № 6.
2. Космодамианский А. С., Калоев С. А. Температурные напряжения в многосвязных пластинках. Киев-Донецк: Выша школа. Головное изд-во. 1982. 159 с.
3. Atkinson C. The interaction between a crack and an inclusion.—Int. J. Eng. Sci., 1972, vol. 10, № 2, pp. 127—136.
4. Erdogan F., Gupta G. D. The inclusion problem with a crack crossing the boundary.—Int. J. Fract., 1975, vol. 11, № 1, pp. 13—27.
5. Erdogan F., Gupta G. D., Ratwani M. Interaction between a circular inclusion and an arbitrarily oriented crack.—J. Appl. Mech., Trans. ASME, ser. E, 1974, vol. 41, № 4, pp. 1007—1013.
6. Hsu Y. C., Shivakumar V. Interaction between an elastic circular inclusion and two symmetrically placed collinear cracks.—Int. J. Fract., 1976, vol. 12, № 4, pp. 619—630.
7. Tamate O. The effect of a circular inclusion on the stresses around a line crack in a sheet under tension.—Int. J. Fract. Mech., 1968, vol. 4, № 3, pp. 257—266.

Донецкий государственный университет

Поступила в редакцию  
14.II.1983